

05.4; 07

# ЭФФЕКТ ТУННЕЛЬНОЙ ЭЛЕКТРОМАГНИТНОЙ ИНТЕРФЕРЕНЦИИ В МЕТАЛЛИЧЕСКИХ ПЛЕНКАХ

В.В. Сидоренков, В.В. Толмачев

Туннельный ток в эффекте Джозефсона [1], величина которого много больше обычного туннельного тока, обусловлен интерференцией волновых функций когерентных электронов в сверхпроводнике. Интерференция с перекрытием полей в туннельной области (здесь волновые вектора чисто мнимые или комплексные) должна наблюдаться для волн произвольной физической природы. Для электромагнитных волн это явление теоретически рассмотрено в работе [2], где в случае полного внутреннего отражения показано, что при падении на плоскопараллельную диэлектрическую пластинку с противоположных сторон двух плоских волн под одинаковым углом возникает туннельный интерференционный поток энергии:

$$I_{\text{МНГ}} = \sqrt{I_{10}} \sqrt{I_{20}} T \sin(\varphi_1 - \varphi_2). \quad (1)$$

Здесь  $I_{10}, I_{20}$  – интенсивности, а  $\varphi_1, \varphi_2$  – фазы падающих на пластинку волн и, по аналогии с обычным коэффициентом прозрачности  $D$  [3], введен коэффициент интерференционной прозрачности  $T$ .

В настоящей работе дается экспериментальное подтверждение явления туннельной электромагнитной интерференции, определяется коэффициент интерференционной прозрачности тонких металлических пленок в оптическом диапазоне.

На основе решения электродинамической задачи о металлической плоскопараллельной пластинке толщиной  $d$  с электропроводностью  $\sigma$  и диэлектрической проницаемостью  $\epsilon_2$  аналогично [2] можно получить точную формулу для коэффициента интерференционной прозрачности, которая при нормальном падении электромагнитных волн запишется в виде:

$$T = \frac{8\sqrt{2}n\sqrt{1+k^2}}{|Q|^2} \left[ 1 - 2n^2(1-k^2) + n^4(1+k^2)^2 \right]^{1/2} \times \\ \times \left[ ch(2\omega\sqrt{\epsilon_1}nk d/c) - \cos(2\omega\sqrt{\epsilon_1}nd/c) \right]^{1/2}. \quad (2)$$

Здесь

$$|Q|^2 = 2 \left\{ [1+n^2(1+k^2)^2 + 4n^2] ch(2\omega\sqrt{\epsilon_1}nk d/c) - \right. \\ \left. - 2 \left\{ [1-n^2(1+k^2)]^2 - 4n^2k^2 \right\} \cos(2\omega\sqrt{\epsilon_1}nd/c) + \right. \\ \left. + 8n[1+n^2(1+k^2)] sh(2\omega\sqrt{\epsilon_1}nk d/c) - \right. \\ \left. - 8nk[1-n^2(1+k^2)] \sin(2\omega\sqrt{\epsilon_1}nd/c), \right.$$

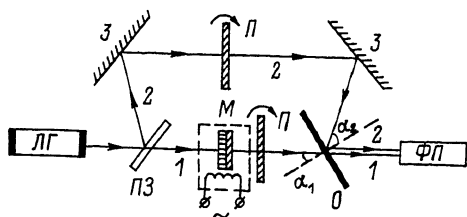


Рис. 1. ЛГ – гелий–неоновый лазер ( $\lambda = 6328 \text{ \AA}$ ), ФП – фотоприемник, М – модулятор, П – поляроид, З – зеркало, ПЗ – полупрозрачное зеркало, О – исследуемый образец.

а коэффициент экстинкции и показатель преломления даются выражениями

$$k = -\frac{\epsilon_0 \epsilon_2 \omega}{\sigma} + \sqrt{\left(\frac{\epsilon_0 \epsilon_2 \omega}{\sigma}\right)^2 + 1},$$

$$n^2 = \frac{1}{2} \left( \frac{\epsilon_2}{\epsilon_1} \pm \sqrt{\left(\frac{\epsilon_2}{\epsilon_1}\right)^2 + \left(\frac{\sigma}{\epsilon_0 \epsilon_1 \omega}\right)^2} \right),$$

где  $\epsilon_1$  – диэлектрическая проницаемость среды, окружающей пластинку,  $\omega$  – круговая частота,  $\epsilon_0$  и  $C$  – электрическая постоянная и скорость света соответственно. Для обычного коэффициента прозрачности справедлива формула

$$\mathcal{D} = 16 n^2 (1 + k^2) / |Q|^2. \quad (3)$$

В случае толстой пластины ( $d > d_s = \sqrt{2/\mu_0 \sigma \omega}$  – глубина скин-слоя,  $\mu_0$  – магнитная постоянная нормального металла ( $\sigma/\epsilon_0 \epsilon_2 \omega \gg 1$ ) из (2), (3) имеем

$$T = 8 \sqrt{\frac{\epsilon_0 \epsilon_1 \omega}{\sigma}} \exp(-d/d_s), \quad (4)$$

$$\mathcal{D} = 16 \frac{\epsilon_0 \epsilon_1 \omega}{\sigma} \exp(-2d/d_s). \quad (5)$$

Соотношения (4), (5) показывают, что коэффициент интерференционной прозрачности  $T$  металлической пластины больше обычного коэффициента прозрачности  $\mathcal{D}$ , причем с ростом  $d$  различия между ними могут составлять несколько порядков. Теоретическая формула (2), так же как результаты в [2], экспериментально подтверждается в настоящей работе.

На рис. 1 изображена схема установки, представляющая собой двухлучевой интерферометр, в одном из плеч которого световой пучок модулируется по амплитуде. Модулятором является перпендикулярно перемагничиваемая током звуковой частоты феррит–гранатовая

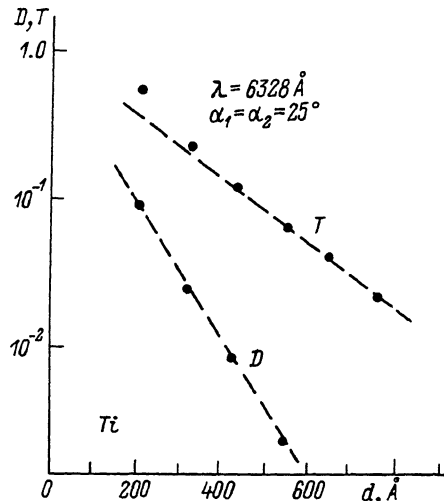


Рис. 2.

пленка, склеенная с поляроидной пленкой. Поляроиды в каналах интерферометра служат для регулирования амплитуд волн, падающих на исследуемый пленочный образец. Сигнал от пленки с фотоприемника поступает на измерительный усилитель, а затем в осциллограф, с помощью которых производились измерения.

Исследовались тонкие пленки ( $d \sim 200-800 \text{ \AA}$ ) металлического конденсата (титан), получаемые вакуумным резистивным напылением на стеклянные подложки толщиной  $\sim 0.15$  мм. Коэффициент прозрачности  $D$  определялся как  $D = \Delta I / 4I$ , ( $\Delta I$ , и  $4I$  — интенсивность сигнала на входе и выходе пленки) при закрытом втором канале интерферометра. При подаче второй волны интенсивность сигнала на выходе пленки резко возрастает (на порядок и более) и, как показали измерения, она линейно зависит от амплитуды дополнительной волны. Коэффициент усиления, равный отношению интенсивностей сигналов при интерференционном и обычном прохождении, согласно (1), определяется выражением

$$\xi = \frac{\Delta I_{\text{ИНТ}}}{\Delta I} = \frac{\sqrt{I_{20}}}{2\sqrt{I_{10}}} \frac{T}{D} \sin(\varphi_1 - \varphi_2). \quad (6)$$

Измерения усиления сигнала за счет туннельной интерференции позволяют по соотношению (6) определить величину коэффициента интерференционной прозрачности  $T$ .

На рис. 2 в полулогарифмическом масштабе представлена зависимость коэффициентов  $D$  и  $T$  для пленки титана от ее толщины  $d$ . Видно, что с ростом  $d$  различия в значениях  $D$  и  $T$

увеличиваются и при  $d_s \sim 730 \text{ \AA}$  составляют два порядка. При этом экспериментальные значения  $D$  и  $T$  удовлетворительно ложатся на две прямые разного угла наклона. Следовательно, зависимости  $D(d)$  и  $T(d)$  подчиняются экспоненциальному закону с разными показателями экспонент. Важно, что наклоны прямых отличаются приблизительно в два раза, а определенная из графиков глубина скин-слоя  $d_s \sim 170 \text{ \AA}$  вполне коррелирует с  $d_s = \sqrt{2/M_0} \omega^b$ , вычисленной при  $b = 2 \cdot 10^6 (\text{Ом} \cdot \text{м})^{-1}$  для титана [4]. Таким образом, экспериментальные зависимости согласуются с формулами (4), (5) и коэффициент интерференционной прозрачности металлических пленок для электромагнитных волн много больше их обычного коэффициента прозрачности.

Приведенные в настоящей работе результаты показывают, что явление туннельной интерференции требует дальнейшего изучения и несомненно является перспективным с точки зрения технических приложений.

#### Список литературы

- [1] Солимар Л. Туннельный эффект в сверхпроводниках и его применение. М.: Мир, 1974. 422 с.
- [2] Бакрадзе Р.В., Брандт Н.Б., Толмачев В.В. Сб.: Механика сплошной среды. М.: ВЗПИ, 1984. С. 3-15.
- [3] Борн М., Вольф Э. Основы оптики. М.: Наука, 1973. С. 581-585.
- [4] Таблицы физических величин / Справочник. М.: Атомиздат, 1976. 1008 с.

Московское высшее  
техническое училище  
им. Н.Э. Баумана

Поступило в Редакцию  
27 июня 1989 г.

Письма в ЖТФ, том 15, вып. 21

12 ноября 1989 г.

05.4

СВЕРХПРОВОДЯЩИЕ ПЛЕНКИ С УПОРЯДОЧЕННОЙ  
РЕШЕТКОЙ ПОР В МАГНИТНОМ ПОЛЕ

А.Д. Кривоспинский, А.Н. Лыков

Одним из методов изучения пиннинга в сверхпроводниках является использование структур с упорядоченной решеткой неоднородностей. При согласовании решетки магнитных вихрей с решеткой неоднородностей можно, в частности, изучать пиннинг отдельных вихрей, не учитывая при этом упругие свойства вихревой решетки. В общем случае хаотично расположенных центров пиннинга проблема сумми-